

6

ALGORITMI QUANTISTICI

I – ALGORITMO DI GROVER PER LA RICERCA IN DATABASE

6.1.1 Algoritmi con "oracolo" o "Black Box"

Il primo passo per arrivare all'algoritmo per la ricerca in database è introdurre il concetto di *oracolo* o *Black Box* (scatola nera) in maniera analoga (ma più generica) a quella introdotta nella sezione 4.5.3.

Supponiamo di avere un database di N elementi. Invece di classificarli e distinguerli in base all'informazione che contengono, a livello astratto, è utile associare ad ogni elemento un numero intero. La ricerca nel database si ridurrà quindi a trovare l'intero che soddisfa le proprietà desiderate. Per descrivere tutto il database avremmo bisogno di n bit o qubit con $N = 2^n$. Gli interi associati saranno nell'intervallo compreso fra 0 e $N - 1$.

Tutta l'informazione sul problema che vogliamo risolvere è codificata in una funzione f che ha come input un intero x (o volendo una stringa di n bit) e come output un singolo bit. In altre parole, $f : \{0, 1\}^{\otimes n} \rightarrow \{0, 1\}$. Per definizione, $f(x) = 1$ se x è soluzione del nostro problema (ovvero è uno degli elementi che stiamo cercando) e $f(x) = 0$ se x non è soluzione del nostro problema.

Per fissare le idee, facciamo un esempio. Supponiamo di voler cercare il numero di un utente in un elenco telefonico *non ordinato* che comprende N utenti. L'elenco è costruito in modo tale da codificare per ogni utente le informazioni {Nome, Cognome, Numero di telefono}. Vogliamo trovare il numero di Mario Rossi. Possiamo costruire una funzione f che, per ogni utente, legga il nome e il cognome, lo confronti con il nome (Mario) e il cognome (Rossi) cercato. La funzione f darà come output 1 se nome e cognome sono quelli dell'utente cercato e 0 in tutti gli altri casi.

Lo schema è molto simile nel caso quantistico. Qui dobbiamo supporre di avere un dispositivo quantistico detto *oracolo* o *Black Box* che sia in grado di *riconoscere* la soluzione e di *segnalare* o *marcare* la soluzione agendo su un qubit addizionale. Prima di andare avanti, è bene chiarire il significato dei termini in *italico* nella frase precedente.

L'oracolo non conosce la soluzione del problema (del resto è una funzione scritta da noi che non sappiamo quale sia la soluzione) ma sa riconoscerla quando viene interrogato sottoponendogli un elemento del database. Un esempio illustrativo è la fattorizzazione dei numeri interi. Supponiamo che ci sia dato un numero intero m e che ci sia detto che è il prodotto di due numeri primi p e q : $m = p \cdot q$. Dobbiamo trovare quali sono p e q . L'algoritmo più usato di crittografia classica (RSA) si basa sul fatto che questo è un problema computazionalmente difficile da risolvere e che, fino ad ora, non è stato individuato nessun algoritmo

classico che sia efficiente ¹. Il problema della fattorizzazione dei numeri primi può essere riformulato come un problema di ricerca in un database. Fra tutti i possibili input ² dobbiamo trovare quelli per cui m è divisibile. In questo caso la funzione f implementata dall'oracolo non fa altro che prendere un intero x come input, dividere m per x e controllare se la divisione è esatta. Quindi l'oracolo non conosce la soluzione ma è in grado di verificare velocemente (mediante una divisione) se un numero è soluzione o no del problema (in questo caso, è un fattore di m) ³.

La seconda proprietà che deve avere l'oracolo è di poter *marcare* la soluzione del problema. Vediamo come questo può essere fatto in maniera relativamente semplice (si veda anche l'algoritmo di Deutch in sec. 4.5.1). Allo stato generico $|x\rangle$ associamo un qubit aggiuntivo detto spesso *qubit oracolo* o *ancilla*: $|q\rangle$. Lo stato totale sarà quindi $|x\rangle|q\rangle$. Il qubit ancilla non porta informazione logica ma serve solo per immagazzinare l'informazione su $f(x)$, ovvero sul fatto che x sia o no soluzione del nostro problema. In maniera analoga a quanto visto nel problema di Deutch, questa operazione viene fatta usando l'addizione modulo 2 per cui l'effetto dell'oracolo è di applicare la seguente trasformazione

$$|x\rangle|q\rangle \xrightarrow{O} |x\rangle|q \oplus f(x)\rangle. \quad (6.1.1)$$

Nel caso più semplice, $q = 0$. Se x è soluzione, $f(x) = 1$ e $|0 \oplus 1\rangle = |1\rangle$. Al contrario, se x non è soluzione, $f(x) = 0$ e $|0 \oplus 0\rangle = |0\rangle$. Riassumendo abbiamo che

$$|x\rangle|0\rangle \xrightarrow{O} \begin{cases} |x\rangle|1\rangle & \text{se } x \text{ è soluzione} \\ |x\rangle|0\rangle & \text{se } x \text{ non è soluzione.} \end{cases} \quad (6.1.2)$$

In sostanza l'effetto dell'oracolo è quello di *marcare* solo gli stati soluzione associandolo ad un qubit aggiuntivo con valore 1.

L'esempio precedente è stato fatto scegliendo $q = 0$. Questo però è una scelta arbitraria. Potremmo scegliere ad esempio di inizializzare il qubit ancilla nello stato $|q\rangle = |1\rangle$. In questo caso, se x è soluzione, $f(x) = 1$ e $|1 \oplus 1\rangle = |0\rangle$ e se x non è soluzione, $f(x) = 0$ e $|1 \oplus 0\rangle = |1\rangle$. Quindi

$$|x\rangle|1\rangle \xrightarrow{O} \begin{cases} |x\rangle|0\rangle & \text{se } x \text{ è soluzione} \\ |x\rangle|1\rangle & \text{se } x \text{ non è soluzione.} \end{cases} \quad (6.1.3)$$

¹ Come discusso nel Capitolo 5, esiste un algoritmo *quantistico* (di Shor) che permette di risolvere il problema della fattorizzazione degli interi in modo efficiente. [nielsen-chuang_book, Rieffel2011, Yanofsky2008].

² In realtà basta cercare fra gli interi compresi fra 2 e \sqrt{m} [nielsen-chuang_book, Rieffel2011, Yanofsky2008].

³ Questo concetto (e quindi quello dell'oracolo o della Black Box) è alla base della teoria della complessità computazionale. Si pensi, ad esempio, alla classe di problemi NP per i quali il trovare una soluzione è difficile mentre il controllo se un dato input (istanza) è soluzione o no può essere fatto velocemente (con risorse polinomiali nella dimensione dell'input) [nielsen-chuang_book].

Questa osservazione ci permette di studiare in altri casi dove il qubit ancilla nello stato $|q\rangle = (|0\rangle - |1\rangle)/\sqrt{2}$. Lo stato totale si può scrivere come

$$|x\rangle \otimes \frac{|0\rangle - |1\rangle}{\sqrt{2}} = \frac{1}{\sqrt{2}} \left[|x\rangle \otimes |0\rangle - |x\rangle \otimes |1\rangle \right]. \quad (6.1.4)$$

Usando le equazioni (6.1.2) e (6.1.5), vediamo che se x è soluzione il bit ancilla cambia stato mentre rimane uguale se x non è soluzione. Con questa osservazione otteniamo che l'effetto dell'oracolo è

$$\frac{1}{\sqrt{2}} \left[|x\rangle \otimes |0\rangle - |x\rangle \otimes |1\rangle \right] \xrightarrow{O} \begin{cases} \frac{1}{\sqrt{2}} \left(|x\rangle \otimes |1\rangle - |x\rangle \otimes |0\rangle \right) & \text{se } x \text{ è soluzione} \\ \frac{1}{\sqrt{2}} \left(|x\rangle \otimes |0\rangle - |x\rangle \otimes |1\rangle \right) & \text{se } x \text{ non è soluzione.} \end{cases} \quad (6.1.5)$$

I due stati ottenuti differiscono solo per un segno meno che possiamo fattorizzare come una fase. L'effetto dell'oracolo in questo caso è

$$|x\rangle \otimes \frac{|0\rangle - |1\rangle}{\sqrt{2}} \xrightarrow{O} (-1)^{f(x)} |x\rangle \otimes \frac{|0\rangle - |1\rangle}{\sqrt{2}}. \quad (6.1.6)$$

Anche in questo caso lo stato soluzione viene *marcato* dall'applicazione dell'oracolo. La differenza consta nella scelta dello stato iniziale del qubit ancilla che si riflette nella maniera in cui l'oracolo agisce. Se usando $|q\rangle = |0\rangle$, lo stato $|x\rangle |q\rangle$ viene modificato, usando $|q\rangle = (|0\rangle - |1\rangle)/\sqrt{2}$ acquista solo una fase $(-1)^{f(x)}$ mentre la struttura non viene cambiata. In quest'ultimo caso possiamo addirittura dimenticarci del qubit ancilla (visto che non viene modificato ed è uguale per tutti gli stati $|x\rangle$) e scrivere l'effetto solo sui qubit logici

$$|x\rangle \xrightarrow{O} (-1)^{f(x)} |x\rangle. \quad (6.1.7)$$

6.1.2 Algoritmo di ricerca in database (Grover)

Ora possiamo discutere l'implementazione e le performance dell'algoritmo di Grover per la ricerca in un database. Per semplicità considereremo solo il caso in cui c'è un unico stato che soddisfa i requisiti richiesti fra i possibili N elementi del database. (il problema ha un'unica soluzione). Il caso con M soluzioni è ugualmente trattabile ma richiede l'introduzione di tecniche e algoritmi più complicati [nielsen-chuang_book].

L'algoritmo di Grover inizia con la costruzione dello stato quantistico sovrapposizione di tutti i possibili stati logici (sec. 4.1). Se lo spazio di ricerca è costituito da N elementi che possono essere codificati in n qubit (quindi $N = 2^n$), questo può essere costruito partendo dallo stato di soli zeri $|000\dots 0\rangle$ con l'applicazione di n porte di Hadamard (3.7.4). Il nostro stato di partenza sarà

$$|\psi\rangle = \frac{1}{\sqrt{N}} \sum_{x=0}^{N-1} |x\rangle. \quad (6.1.8)$$

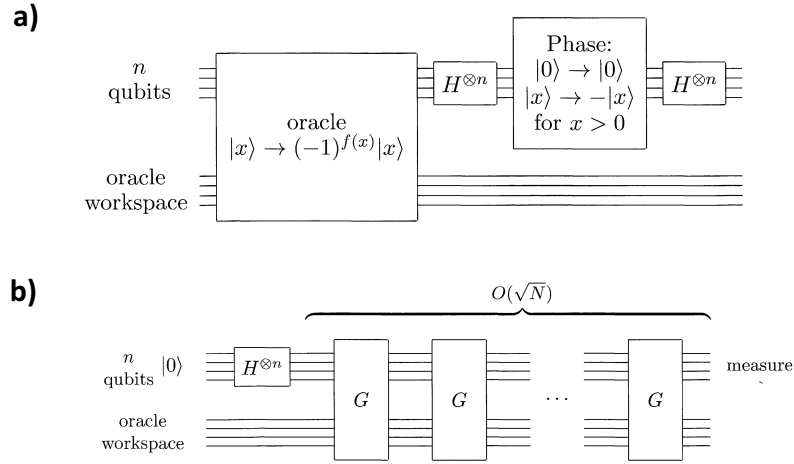


Figure 19: a) Schema circuitale per l'implementazione dell'operatore di Grover. b) Schema circuitale per l'implementazione dell'algoritmo di Grover.

Il cuore dell'algoritmo è nella costruzione di un operatore detto di *Grover* che sfrutta l'idea di oracolo come discussa nella sezione 6.1.1

Implementazione dell'operatore di Grover G :

1. Applicare allo stato l'oracolo (6.1.7) che cambia la fase allo stato soluzione:

$$|x\rangle \xrightarrow{O} (-1)^{f(x)} |x\rangle. \quad (6.1.9)$$

2. Applicare n porte di Hadamard.
3. Applicare un cambio di fase a tutti gli stati tranne allo stato $|000\dots 0\rangle$:

$$|x\rangle \rightarrow -(-1)^{\delta_{x0}} |x\rangle \quad (6.1.10)$$

(dove δ_{x0} è la delta di Kronecker tale che $\delta_{ij} = 1$ se $i = j$ e $\delta_{ij} = 0$ se $i \neq j$).
 Ovvero, $|0\rangle \rightarrow |0\rangle$ e, per $x \neq 0$, $|x\rangle \rightarrow -|x\rangle$.

4. Applicare n porte di Hadamard.

La sequenza di operazioni per costruire l'operatore di Grover è mostrata in Figura 19 a).

Una volta costruito il circuito logico quantistico per implementare l'operatore di G , l'algoritmo per la ricerca in un database si riduce alla sua applicazione per un numero $\sqrt{N} = 2^{n/2}$ di volte come mostrato in Figura 19 b).

Stati "soluzione" e "non-soluzione".

Lo spazio logico può essere diviso in due sottospazi. Quello generato da $|x\rangle$ con x soluzione del nostro problema (ovvero quelli a cui l'oracolo cambia segno) e quelli che non sono soluzione del nostro problema. Supponiamo che ci siano M stati soluzione e, di conseguenza $N - M$ stati non-soluzione. La sovrapposizione di tutti gli stati soluzione viene indicata da un vettore $|\beta\rangle$ mentre quella degli stati non-soluzione viene indicata con $|\alpha\rangle$. In modo più formale, definiamo

$$\begin{aligned} |\alpha\rangle &= \frac{1}{\sqrt{N-M}} \sum_x^{\text{non-sol}} |x\rangle \\ |\beta\rangle &= \frac{1}{\sqrt{M}} \sum_x^{\text{sol}} |x\rangle \end{aligned} \quad (6.1.11)$$

Con questa notazione lo stato iniziale $|\psi\rangle$ in Eq. (6.1.8) si scrive come

$$|\psi\rangle = \sqrt{\frac{N-M}{N}} |\alpha\rangle + \sqrt{\frac{M}{N}} |\beta\rangle. \quad (6.1.12)$$

Questo può essere verificato anche direttamente inserendo le definizioni (6.1.11) nella (6.1.12).

Operatore di Grover

Così come è stato presentato, l'operatore G e la sua azione risultano ancora misteriosi. Per rendere più concreta la trasformazione indotta scriviamo tutto in termini di operatori quantistici sfruttando la distinzione fra stati soluzione e stati non-soluzione in Eq. (6.1.11).

Come detto l'oracolo cambia segno solo agli stati soluzione, quindi cambierà segno allo stato $|\beta\rangle$ lasciando $|\alpha\rangle$ invariato. Se lo facciamo agire su uno stato generico $a|\alpha\rangle + b|\beta\rangle$ otteniamo

$$O(a|\alpha\rangle + b|\beta\rangle) = a|\alpha\rangle - b|\beta\rangle \quad (6.1.13)$$

Nella notazione bracket questo può essere scritto come

$$O = |\alpha\rangle\langle\alpha| - |\beta\rangle\langle\beta|. \quad (6.1.14)$$

Una scrittura ancora più conveniente è quella in termini di matrici nello spazio $\{|\alpha\rangle, |\beta\rangle\}$. Abbiamo

$$O = \begin{matrix} & \begin{matrix} |\alpha\rangle & |\beta\rangle \end{matrix} \\ \begin{matrix} \langle\alpha| \\ \langle\beta| \end{matrix} & \begin{bmatrix} 1 & 0 \\ 0 & -1 \end{bmatrix} \end{matrix}. \quad (6.1.15)$$

Per la rimanente parte dell'operatore di Grover abbiamo l'applicazione di n porte di Hadarmard intermezze dall'operatore che cambia di segno a tutti gli

stati tranne lo stato $|\bar{0}\rangle \equiv |00\dots 0\rangle$. Quest'ultimo nella notazione braket si scrive come

$$U = 2|\bar{0}\rangle\langle\bar{0}| - \text{Id} \quad (6.1.16)$$

(dove Id è l'operatore identità). Possiamo verificare che se $|x\rangle \neq |\bar{0}\rangle$,

$$U|x\rangle = (2|\bar{0}\rangle\langle\bar{0}| - \text{Id})|x\rangle = -|x\rangle \quad (6.1.17)$$

e che

$$U|\bar{0}\rangle = (2|\bar{0}\rangle\langle\bar{0}| - \text{Id})|\bar{0}\rangle = 2|\bar{0}\rangle - |\bar{0}\rangle = |\bar{0}\rangle \quad (6.1.18)$$

come ci aspettavamo.

A questo punto possiamo scrivere la parte rimanente dell'operatore di Grover come

$$H^{\otimes n} U H^{\otimes n} = H^{\otimes n} (2|\bar{0}\rangle\langle\bar{0}| - \text{Id}) H^{\otimes n} = 2|\psi\rangle\langle\psi| - \text{Id}. \quad (6.1.19)$$

L'ultimo passaggio deriva dal fatto che $H^{\otimes n} |\bar{0}\rangle = \frac{1}{\sqrt{N}} \sum_{x=0}^{N-1} |x\rangle = |\psi\rangle$ e che $H^{\otimes n} \text{Id} H^{\otimes n} = \text{Id}$. Infatti, $H^{\otimes n} \text{Id} H^{\otimes n} = (H^2)^{\otimes n} = \text{Id}$ dato che $H^2 = \text{Id}$.

Ne consegue che l'operatore di Grover può essere scritto come

$$G = (2|\psi\rangle\langle\psi| - \text{Id})O. \quad (6.1.20)$$

6.1.3 Interpretazione geometrica dell'algoritmo

Lo stato $|\psi\rangle$ in Eq. (6.1.12) è normalizzato e può essere riscritto in termini di funzioni seno e coseno come

$$|\psi\rangle = \cos \frac{\theta}{2} |\alpha\rangle + \sin \frac{\theta}{2} |\beta\rangle \quad (6.1.21)$$

con

$$\begin{aligned} \cos \frac{\theta}{2} &= \sqrt{\frac{N-M}{N}} \\ \sin \frac{\theta}{2} &= \sqrt{\frac{M}{N}} \end{aligned} \quad (6.1.22)$$

Questa riscrittura ci permette di rappresentare lo stato del sistema in uno spazio bidimensionale e legarlo agli angoli come in figura 20.

I casi più importanti a livello computazionale (e più difficili da risolvere) sono quelli in cui lo spazio di ricerca è molto grande e le soluzioni sono poche; ovvero, $N \gg M$.

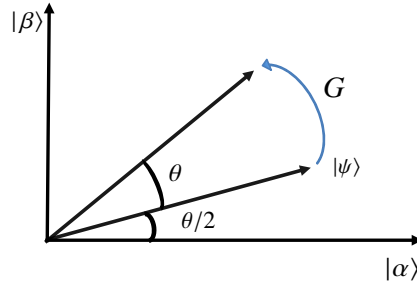


Figure 20: Rappresentazione geometrica dell'algoritmo di Grover. Il sistema è descritto in un piano bidimensionale in cui gli assi sono le proiezioni sul subspazio delle soluzioni $|\beta\rangle$ e delle non-soluzioni $|\alpha\rangle$. L'operatore di Grover induce una rotazione di un angolo θ .

Riscriviamo ora l'operatore $2|\psi\rangle\langle\psi| - \text{Id}$ in termini delle funzioni seno e coseno. Dall'Eq. (6.1.21), abbiamo che $\langle\psi|\alpha\rangle = \cos \frac{\theta}{2}$ e $\langle\psi|\beta\rangle = \sin \frac{\theta}{2}$. Quindi,

$$\begin{aligned} (2|\psi\rangle\langle\psi| - \text{Id})|\alpha\rangle &= 2|\psi\rangle\langle\psi|\alpha\rangle - |\alpha\rangle = 2\cos \frac{\theta}{2}|\psi\rangle - |\alpha\rangle \\ &= 2\cos \frac{\theta}{2} \left(\cos \frac{\theta}{2}|\alpha\rangle + \sin \frac{\theta}{2}|\beta\rangle \right) - |\alpha\rangle \\ &= \cos \theta |\alpha\rangle + \sin \theta |\beta\rangle. \end{aligned} \quad (6.1.23)$$

Dove abbiamo usato le relazioni $2\sin \frac{\theta}{2} \cos \frac{\theta}{2} = \sin \theta$ e $2\cos^2 \frac{\theta}{2} - 1 = \cos \theta$.

In maniera del tutto analoga abbiamo

$$\begin{aligned} (2|\psi\rangle\langle\psi| - \text{Id})|\beta\rangle &= 2|\psi\rangle\langle\psi|\beta\rangle - |\beta\rangle = 2\sin \frac{\theta}{2}|\psi\rangle - |\beta\rangle \\ &= 2\sin \frac{\theta}{2} \left(\cos \frac{\theta}{2}|\alpha\rangle + \sin \frac{\theta}{2}|\beta\rangle \right) - |\beta\rangle \\ &= \sin \theta |\alpha\rangle - \cos \theta |\beta\rangle. \end{aligned} \quad (6.1.24)$$

Questo ci permette di scrivere l'operatore U in forma matriciale come

$$U = \begin{matrix} & \begin{matrix} |\alpha\rangle & |\beta\rangle \end{matrix} \\ \begin{matrix} \langle\alpha| \\ \langle\beta| \end{matrix} & \begin{bmatrix} \cos \theta & \sin \theta \\ \sin \theta & -\cos \theta \end{bmatrix} \end{matrix}. \quad (6.1.25)$$

Ne consegue che l'operatore di Grover nello spazio $\{|\alpha\rangle, |\beta\rangle\}$ e in forma matriciale si scrive come

$$G = UO = \begin{matrix} & \begin{matrix} |\alpha\rangle & |\beta\rangle \end{matrix} \\ \begin{matrix} \langle\alpha| \\ \langle\beta| \end{matrix} & \begin{bmatrix} \cos \theta & -\sin \theta \\ \sin \theta & \cos \theta \end{bmatrix} \end{matrix}. \quad (6.1.26)$$

6.1.4 Effetto dell'operatore di Grover

L'operatore di Grover nella rappresentazione (6.1.26) è immediatamente associabile ad una rotazione nel piano definito dagli stati $\{|\alpha\rangle, |\beta\rangle\}$ ⁴.

Per capire meglio questo punto, supponiamo di applicarlo allo stato $|\phi\rangle = \cos \delta |\alpha\rangle + \sin \delta |\beta\rangle$;

$$G |\phi\rangle = \begin{bmatrix} \cos \theta & -\sin \theta \\ \sin \theta & \cos \theta \end{bmatrix} \cdot \begin{bmatrix} \cos \delta \\ \sin \delta \end{bmatrix} = \begin{bmatrix} \cos(\theta + \delta) \\ \sin(\theta + \delta) \end{bmatrix} \quad (6.1.27)$$

dove abbiamo usato le formule $\sin(a \pm b) = \sin a \cos b \pm \cos a \sin b$ e $\cos(a \pm b) = \cos a \cos b \mp \sin a \sin b$. Quindi lo stato descritto dall'angolo δ viene ruotato di un angolo θ .

Ne consegue che se applichiamo k volte l'operatore di Grover, genereremo nello spazio $\{|\alpha\rangle, |\beta\rangle\}$ una rotazione di un angolo $k\theta$. Se lo stato iniziale è $|\psi\rangle$ in Eq. (6.1.21) (associato ad un angolo $\theta/2$) dopo k applicazioni dell'operatore di Grover avremo

$$G^k |\psi\rangle = \begin{bmatrix} \cos\left(\frac{2k+1}{2}\theta\right) \\ \sin\left(\frac{2k+1}{2}\theta\right) \end{bmatrix} = \cos\left(\frac{2k+1}{2}\theta\right) |\alpha\rangle + \sin\left(\frac{2k+1}{2}\theta\right) |\beta\rangle. \quad (6.1.28)$$

6.1.5 Performance dell'algoritmo di Grover

L'Eq. (6.1.28) ci dà lo stato del sistema dopo k applicazioni dell'operatore di Grover. Affinchè l'algoritmo sia efficace deve aumentare la probabilità di misurare uno degli stati soluzione; quindi deve aumentare il coefficiente dello stato $|\beta\rangle$. Per avere la certezza di misurare uno degli stati in $|\beta\rangle$ dobbiamo avere

$$\sin\left(\frac{2k+1}{2}\theta\right) \approx 1 \quad (6.1.29)$$

che equivale ad richiedere che $\frac{2k+1}{2}\theta \approx \frac{\pi}{2}$ e quindi

$$k = \frac{1}{2} \left(\frac{\pi}{\theta} - 1 \right). \quad (6.1.30)$$

In altre parole, l'Eq. (6.1.30) ci fornisce il numero di iterazioni necessarie all'algoritmo di Grover per rendere molto probabile la misura di uno degli stati soluzione.

Che valore assume θ ? Dall'Eq. (6.1.22) abbiamo che $\sin \frac{\theta}{2} = \sqrt{\frac{M}{N}}$. Nei casi più interessanti e difficili dove ci sono poche soluzioni, $M \ll N$. Di conseguenza, anche l'angolo $\theta/2$ dovrà essere piccolo e otteniamo

$$\sin \frac{\theta}{2} \approx \frac{\theta}{2} = \sqrt{\frac{M}{N}}. \quad (6.1.31)$$

⁴ Si veda, ad esempio, https://en.wikipedia.org/wiki/Rotation_matrix.

Usando questa relazione nell'Eq. (6.1.30), otteniamo

$$k = \frac{1}{2} \left(\frac{\pi}{2} \sqrt{\frac{N}{M}} - 1 \right) \approx \frac{\pi}{4} \sqrt{\frac{N}{M}}. \quad (6.1.32)$$

Ricordando che per un sistema a n bit $N = 2^n$, abbiamo ottenuto che l'algoritmo di Grover riesce a trovare una soluzione corretta con $\sqrt{N} = 2^{\frac{n}{2}}$ chiamate alla funzione f . Questo è da confrontare alle $N = 2^n$ chiamate alla funzione f , per la ricerca classica in un database non strutturato. Ne consegue che l'algoritmo di Grover dà una velocizzazione (*speed-up*) quadratico rispetto agli analoghi classici.

6.1.6 Applicazione alla ricerca in un database di 4 elementi

Consideriamo la ricerca in un database di 4 elementi. Supponiamo che fra i 4 elementi ce ne sia solo uno indicato con \bar{x} che soddisfi le condizioni richieste. Quindi avremo che $f(\bar{x}) = 1$ e $f(x) = 0$ se $x \neq \bar{x}$.

Per l'implementazione dell'algoritmo di Grover, è necessario specificare le caratteristiche dell'elemento che stiamo cercando e la funzione f ⁵. Tuttavia per capire in senso astratto come funziona l'algoritmo di Grover e calcolare quante applicazioni sono necessarie per risolvere il problema, questo non è necessario dato che si può usare il formalismo più astratto usato nella sezione precedente.

In questo caso, abbiamo che $N = 4$ e $M = 1$. Di conseguenza,

$$\begin{aligned} \cos \frac{\theta}{2} &= \frac{N-M}{N} = \frac{\sqrt{3}}{2} \\ \sin \frac{\theta}{2} &= \frac{M}{N} = \frac{1}{2} \end{aligned} \quad (6.1.33)$$

che corrisponde ad un angolo $\theta = \pi/3$ (ovvero $\theta/2 = \pi/6$)

Possiamo scrivere lo stato iniziale in Eq. (6.1.21) come

$$|\psi\rangle = \frac{\sqrt{3}}{2} |\alpha\rangle + \frac{1}{2} |\beta\rangle = \begin{bmatrix} \frac{\sqrt{3}}{2} \\ \frac{1}{2} \end{bmatrix} \quad (6.1.34)$$

Quindi dall'Eq. (6.1.26)

$$G = \frac{1}{2} \begin{bmatrix} 1 & -\sqrt{3} \\ \sqrt{3} & 1 \end{bmatrix}. \quad (6.1.35)$$

Applicando una sola volta l'operatore di Grover allo stato iniziale $|\psi\rangle$ otteniamo

$$G |\psi\rangle = \frac{1}{2} \begin{bmatrix} 1 & -\sqrt{3} \\ \sqrt{3} & 1 \end{bmatrix} \cdot \frac{1}{2} \begin{bmatrix} \sqrt{3} \\ 1 \end{bmatrix} = \begin{bmatrix} 0 \\ 1 \end{bmatrix} = |\beta\rangle. \quad (6.1.36)$$

Quindi con una sola applicazione dell'operatore G siamo arrivati a trovare la soluzione del problema.

⁵ Si noti che, come discusso in sezione 6.1.1, questo non significa conoscere la soluzione del problema ma saperla riconoscere.